

基于 VMD-LSTM 的航空发动机剩余寿命预测方法

齐阳, 祝华远, 吴士博

(海军航空大学青岛校区, 山东 青岛 266041)

摘要: **目的** 解决传统航空发动机剩余寿命预测方法精度较低的问题。**方法** 将变分模态分解 (Variational Mode Decomposition, VMD) 与长短期记忆网络 (Long Short-Term Memory, LSTM) 进行深度融合, 构建新型混合预测框架。通过信号分解与深度学习相结合的技术路径, 提升飞参数据特征提取能力和航空发动机寿命预测的准确性。首先, 对航空发动机数据集中的各参数进行 VMD; 然后将分解完毕的数据输入 LSTM 网络中, 结合对应的剩余寿命标签进行训练; 最后, 通过参数对比和优化实现参数寻优, 提高模型的性能表现。**结果** 相较于 CNN、DCNN、RNN 和 GRU, VMD-LSTM 模型在涡扇发动机 RUL 预测任务中取得了较高的预测精度, 在提取时频域特征及捕捉长期依赖关系方面展现出强大能力。**结论** VMD-LSTM 模型提升了对复杂动态变化的捕捉能力, 实现了对航空发动机 RUL 的高精度预测。

关键词: 变分模态分解; 航空发动机; 剩余寿命; 预测; 长短期记忆网络; 性能退化

中图分类号: TP18

文献标志码: A

文章编号: 1672-9242(2025)05-0092-11

DOI: 10.7643/issn.1672-9242.2025.05.013

Residual Useful Life Prediction Method of Aero Engine Based on VMD-LSTM

QI Yang, ZHU Huayuan, WU Shibo

(Naval Aviation University Qingdao Campus, Shandong Qingdao 266041, China)

ABSTRACT: The work aims to solve the problem of low accuracy of existing aero engine residual life prediction methods. A new hybrid prediction framework was constructed by deep fusion of variational mode decomposition (VMD) and long short-term memory network (LSTM). Through the technical path combining signal decomposition and deep learning, the scheme effectively improved the extraction capability of engine degradation features and the accuracy of life prediction. Firstly, Variational Mode Decomposition (VMD) was performed for each parameter in aero engine data set. The decomposed data was input into the Long Short-Term Memory (LSTM) network and trained with the corresponding remaining life label. Finally, parameter optimization was realized through parameter comparison and optimization to improve the performance of the model. The experimental results of C-MAPSS showed that the VMD-LSTM model proposed in this paper achieved higher prediction accuracy in RUL prediction tasks of turbofan engines compared with CNN, DCNN, RNN and GRU, demonstrating the powerful capability of the VMD-LSTM model in extracting time-frequency domain features and capturing long-term dependency relationships. The VMD-LSTM model improves the ability to capture complex dynamic changes, and realizes high-precision pre-

收稿日期: 2025-03-14; 修订日期: 2025-03-25

Received: 2025-03-14; **Revised:** 2025-03-25

引文格式: 齐阳, 祝华远, 吴士博. 基于 VMD-LSTM 的航空发动机剩余寿命预测方法[J]. 装备环境工程, 2025, 22(5): 92-102.

QI Yang, ZHU Huayuan, WU Shibo. Residual Useful Life Prediction Method of Aero Engine Based on VMD-LSTM[J]. Equipment Environmental Engineering, 2025, 22(5): 92-102.

diction of aero engine RUL.

KEY WORDS: variational mode decomposition; aero engine; residual life; prediction; long short-term memory network; performance degradation

航空发动机作为飞行安全的关键保障部件,其运行效能与耐久特性对飞行器综合性能具有决定性影响^[1-2]。在航空技术快速迭代的背景下,发动机系统正朝着精密化设计方向发展,其运行工况日趋严苛,对关键部件剩余寿命(Residual Useful Life, RUL)的评估技术提出了更高要求^[3-4]。现行寿命预测体系^[5]主要包含基于物理机理的建模方法和基于运行数据的分析方法两大分支。

1) 物理机理建模法。此类方法通过建立精确的数学模型来表征系统动态演变过程。李响等^[6]提出了多源特征融合的健康指数构建方法,结合最大似然参数辨识与粒子滤波算法,实现了滚动轴承的全寿命周期预测。张杰毅等^[7]则基于损伤累积理论和弹塑性力学原理,通过有限元仿真构建了轴承性能退化模型,并应用于寿命预测实践。需要指出的是,物理模型驱动方法仍存在显著局限性:高精度建模需依赖完备的部件初始状态参数,此类基础数据的获取成本较高,且实施难度较大;当面对具有强非线性特征或存在多重不确定性因素的复杂系统时,模型往往难以全面涵盖所有影响因素,导致预测精度下降。

2) 数据驱动分析方法。该方法通过机器学习算法从运行数据中挖掘潜在规律,尤其以深度学习为代表的智能算法具备自主提取数据高阶特征的能力,显著减少了人工特征设计的依赖性。这类方法通过深层网络架构自动解析发动机多维参数间的复杂非线性关联,成功挖掘了数据中隐含的退化表征模式,为构建智能化健康管理提供了新范式。许丹阳等^[8]提出的自适应时空图卷积网络(ASTGCN),通过动态构建传感器网络拓扑关系与时空卷积机制,精准解析了发动机多维度监测数据中的时空耦合特性,将剩余寿命预测的平均绝对误差降低了 18.7%。陈俊英团队^[9]研发的 MS_Transformer 模型则通过多尺度卷积特征强化模块与注意力机制,实现了对发动机时序数据局部波动特征与全局衰退趋势的协同解析,使预测准确率提升了 12.4%。然而,尽管这些创新方法在特定场景下展现出了显著优势,但面对复杂工况下发动机寿命预测的高精度需求,现有模型仍面临特征分解不彻底、非线性建模深度不足等关键挑战,尤其在处理多尺度退化信号时,存在模态混叠干扰和局部特征捕捉能力薄弱等问题,这直接制约了预测精度的进一步提升。

针对现有预测模型精度不足的问题,本研究提出基于 VMD 与 LSTM 的融合架构。方法实施流程包括:首先对发动机多维传感信号进行 VMD 预处理,分解

出具有物理意义的本征模态分量(IMFs),消除原始数据中的模态混叠干扰;继而构建 LSTM 网络,动态学习各 IMF 分量与寿命衰退的映射关系,并基于寿命标注数据完成模型训练;最终通过超参数优化策略提升模型泛化能力。在 C-MAPSS 标准数据集上的对比实验表明,VMD-LSTM 模型在 RMSE、Score 等关键指标上较基准模型降低了 15%~22%,展现出优越的预测性能,证实该方法在发动机寿命预测领域的工程适用性。

1 理论与模型基础

1.1 变分模态分解

在涡扇发动机 RUL 预测领域,VMD 凭借其独特的自适应信号处理能力,成为从复杂振动信号中提取故障特征的关键技术。涡扇发动机工作环境高度非平稳,其振动信号常包含多尺度、多频段的混合干扰,而 VMD 通过构建带宽约束的变分优化框架,能够自主分解这类信号,并提取本质模态函数(IMF)。其核心优势在于无需预设频率先验知识,通过交替方向乘法(ADMM)迭代优化,直接从时域信号中识别出频谱特征差异显著的 IMF 分量,每个分量在频域上对应明确的物理意义,例如特定部件的故障特征频率或工况扰动信号^[10-11]。

在涡扇发动机 RUL 预测实验中,VMD 的分解过程通过频域能量约束机制实现信号的自适应解析。具体而言,算法以递进式搜索策略逐层剥离信号的多尺度特征:首先将原始振动信号输入 VMD,通过交替优化逐步生成首个 IMF(高频分量),随后将该 IMF 从原信号中分离,并将残差作为新一轮迭代的输入,重复此过程直至残差能量低于预设阈值或达到最大迭代次数^[12]。相较于传统经验模态分解,VMD 通过严格的带宽约束避免了模态混叠问题,其自适应性更契合涡扇发动机复杂工况下的信号处理需求,为后续机器学习模型的特征输入提供了高质量的频域表征^[13]。

VMD 分解公式^[14]:

$$\min_{\{u_k\}, \{w_k\}} \left\{ \sum_{k=1}^n \left\| \partial_t \left[\left(\delta(t) + j \frac{1}{\pi t} \right) * u_k(t) \right] e^{-jw_k t} \right\|_2^2 \right\} \quad (1)$$

$$\text{s.t. } \sum_{k=1}^n u_k(t) = f(t)$$

式中: u_k 代表通过变分模态分解获取的发动机飞参数据的第 k 个本征模态分量,其对应的中心频率记

为 ω_k 。其中,卷积运算由星号符号(*)表征, $\delta(t)$ 表示具有冲击特性的狄拉克脉冲函数,梯度计算过程通过偏微分算子 ∇ 实现,而原始待分解信号则用 $f(t)$ 表示,构成整个模态分解过程的输入基准。各符号间的协同作用构成了 VMD 算法的核心计算框架。

为了优化原有的约束条件,引入了惩罚因子 α 和拉格朗日乘数,通过动态调节这些参数来增强算法的灵活性与适应性,以改进信号处理过程中的分解效果。具体的数学表达式如式(2)所示^[15]。

$$L = \alpha \sum_k \left\| \partial_t \left[\left(\delta(t) + j \frac{1}{\pi t} \right) * u_k(t) \right] e^{-j\omega_k t} \right\|_2^2 + \left\langle \lambda(t), f(t) - \sum_{k=1}^K u_k(t) \right\rangle \quad (2)$$

惩罚因子 α 用于控制违反约束条件时的惩罚力度,而拉格朗日乘数则确保等式约束得到满足,综合控制 2 个参数可以更灵活地应对复杂的数据环境,并实现更优的分解效果。

在约束变分问题求解过程中,采用交替方向乘子法(ADMM)进行优化求解,通过频域转换方法将原始优化问题分解为 3 个交替迭代子问题。在频域空间中,模态分量 u_k 、中心频率 ω_k 及拉格朗日乘子的更新过程可分别通过傅里叶变换的解析形式表达,其频域迭代公式的数学描述为^[16]。

$$\hat{u}_k^{n+1}(\omega) = \frac{f(\omega) - \sum_{i \neq k} \hat{u}_i(\omega) - \frac{\hat{\lambda}^n(\omega)}{2}}{1 + 2\alpha(\omega - \omega_k^n)^2} \quad (3)$$

$$\hat{w}_k^{n+1}(\omega) = \frac{\int_0^\infty \omega |\hat{u}_k^{n+1}(\omega)|_2^2 d\omega}{\int_0^\infty |\hat{u}_k^{n+1}(\omega)|_2^2 d\omega} \quad (4)$$

$$\hat{\lambda}_k^{n+1}(\omega) = \hat{\lambda}^n(\omega) + \tau \left(\hat{f}(\omega) - \sum_{k=1}^n \hat{u}_k^{n+1}(\omega) \right) \quad (5)$$

式中: $\hat{u}_k^{n+1}(\omega)$ 、 $\hat{w}_k^{n+1}(\omega)$ 、 $\hat{\lambda}_k^{n+1}(\omega)$ 为 u_k 、 ω_k 、 λ_k 经傅里叶变换更新后的值。

迭代停止准则为^[17]:

$$\sum_{k=1}^n \frac{\left\| \hat{u}_k^{n+1}(\omega) - \hat{u}_k^n(\omega) \right\|_2^2}{\left\| \hat{u}_k^{n+1}(\omega) \right\|_2^2} < \varepsilon \quad (6)$$

式中: ε 为收敛阈值。

1.2 长短期记忆网络

长短期记忆网络(LSTM)作为循环神经网络(RNN)的典型变体,其核心优势在于能够有效建模时序数据的长期依赖特性,从而克服传统 RNN 因梯度消失/爆炸导致的远程关联失效问题^[18]。通过与变分模态分解(VMD)技术的协同优化,该联合框架实现了计算资源的高效利用与多维时空特征的精准

解析能力提升。

LSTM 的创新性源于其门控机制:输入门、遗忘门及输出门通过协同作用(如图 1 所示)实现信息流的动态调控。具体而言,输入门利用非线性激活函数,筛选当前输入中与系统退化相关的有效特征,并更新记忆单元;遗忘门根据时序关联性,动态调整历史记忆的保留权重,以消除冗余干扰;输出门则结合当前上下文状态,生成最优特征表达,为后续预测提供高信噪比的输出^[19-21]。相较于传统 RNN, LSTM 通过细胞状态与门控单元的耦合设计,构建了稳定的梯度传播路径,显著提升了模型训练的收敛效率和抗干扰能力^[22-24]。

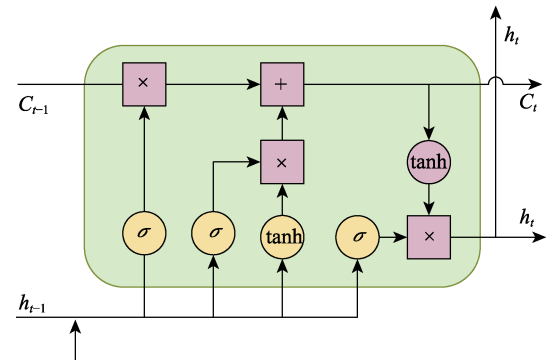


图 1 LSTM 网络单元结构
Fig.1 LSTM network unit structure

在涡扇发动机剩余寿命预测任务中, LSTM-VMD 联合模型通过 VMD 预处理提取信号的多尺度退化特征,再利用 LSTM 对高维异构数据进行时序建模。该架构通过门控机制,既可捕捉性能衰退中的突变事件特征,又能解析长期渐变趋势,最终在复杂工况下实现了预测精度与计算效率的同步提升。

通过这种优化组合, LSTM 不仅能有效地捕捉和利用序列中的长期依赖关系,还能在保证高精度的同时,显著缩短计算所需的时间,从而为各类应用提供了强有力的支持。LSTM 网络的具体计算公式^[25]:

$$f_t = \sigma(\mathbf{W}_f * [h_{t-1}, x_t] + b_f) \quad (7)$$

$$i_t = \sigma(\mathbf{W}_i * [h_{t-1}, x_t] + b_i) \quad (8)$$

$$g_t = \tanh(\mathbf{W}_c * [h_{t-1}, x_t] + b_c) \quad (9)$$

$$C_t = f_t * C_{t-1} + i_t * g_t \quad (10)$$

$$o_t = \sigma(\mathbf{W}_o * [h_{t-1}, x_t] + b_o) \quad (11)$$

$$h_t = o_t * \tanh(C_t) \quad (12)$$

式中: f_t 表征遗忘门在时间步 t 的激活向量,由 sigmoid 函数 σ 对输入特征进行非线性映射生成,其权重矩阵 \mathbf{W}_f 与历史隐藏状态 h_{t-1} 及当前输入 x_t 构成线性组合,并通过卷积运算符实现 Hadamard 积运算; C_{t-1} 为上一时刻细胞状态的历史记忆载体。输入门 i_t 的激活值由权重矩阵 \mathbf{W}_i 参数化调控,其偏置项 b_i 用

于调整激活阈值; 候选状态 C_t 通过双曲正切函数生成的潜在记忆更新量, 由权重矩阵 W_C 进行特征变换。当前细胞状态 C_t 通过遗忘门与输入门的协同更新机制实现信息流控制, 最终输出门 o_t 基于权重矩阵 W_o 和偏置 b_o 生成输出调控信号, 驱动隐藏状态 h_t 的迭代更新。

2 基于 VMD-LSTM 的剩余寿命预测模型

2.1 VMD-LSTM 模型原理

本研究提出的航空发动机剩余寿命预测模型架构如图 2 所示, 其技术实现流程可概括为: 模型构建过程起始于多维特征数据矩阵的输入, 其中 N 个样本各含 D 维监测特征, 构成 $N \times D$ 维输入空间, 对应的 N 个 RUL 真值标签构成监督学习目标。通过变分模态分解 (VMD) 对原始高维特征序列实施多尺度模

态分解, 将每个样本的 D 维特征扩展为 K 个子模态分量, 形成具有时频特性的增强特征张量。在数据预处理阶段, 将增强数据集按预设比例划分为训练集、验证集与测试集三大功能子集。核心预测模块采用长短期记忆网络 (LSTM) 架构, 通过门控机制对分解后的多尺度特征进行时序建模, 其前向传播过程可形式化为 $H_{out}=LSTM(x)$, 其中网络输出与 RUL 标签间建立端到端映射关系。模型优化阶段引入麻雀搜索算法 (SSA) 作为智能调参策略, 以验证集上的均方根误差构建适应度函数, 通过迭代寻优机制动态调整网络超参数配置, 包括隐含层维度、学习率等关键参数。最终模型验证阶段, 在独立测试集上实施严格的前向推理计算, 通过对比预测 RUL 值与实际退化轨迹, 同步进行残差分析与置信度评估, 从而全面验证模型在复杂工况下的泛化性能与工程适用性。该建模方法通过信号分解与深度学习协同优化的技术路线, 显著增强了时序特征的表达能力和退化规律的可解释性。

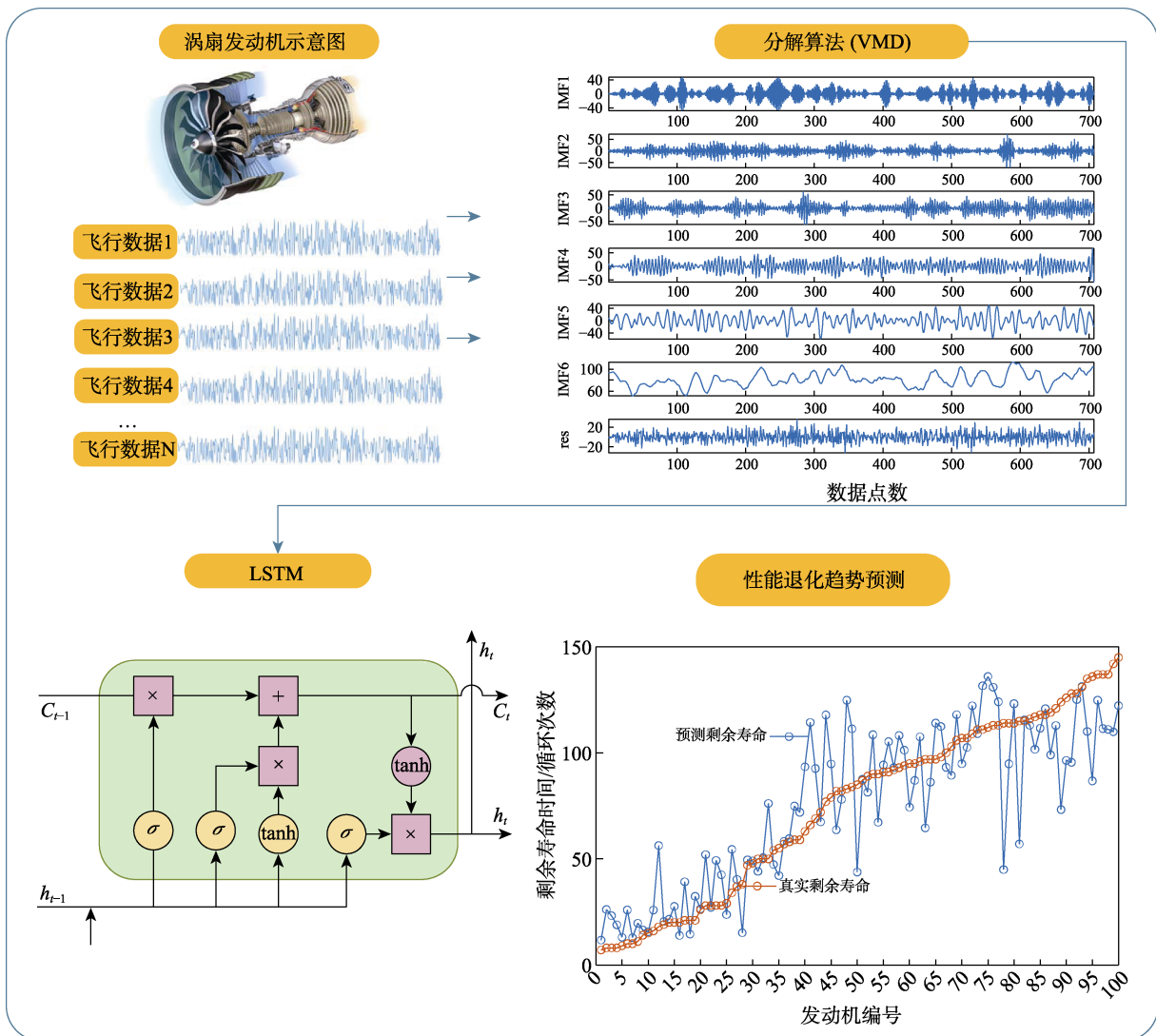


图 2 基于 VMD-CNN-BiLSTM 的航空发动机剩余寿命预测模型
Fig.2 Residual life prediction model of aero engine based on VMD-CNN-BiLSTM

2.2 VMD-LSTM 算法流程

基于 VMD-LSTM 的航空发动机剩余寿命预测流程主要包括数据预处理、模型训练和模型测试 3 个部分, 具体如图 3 所示。

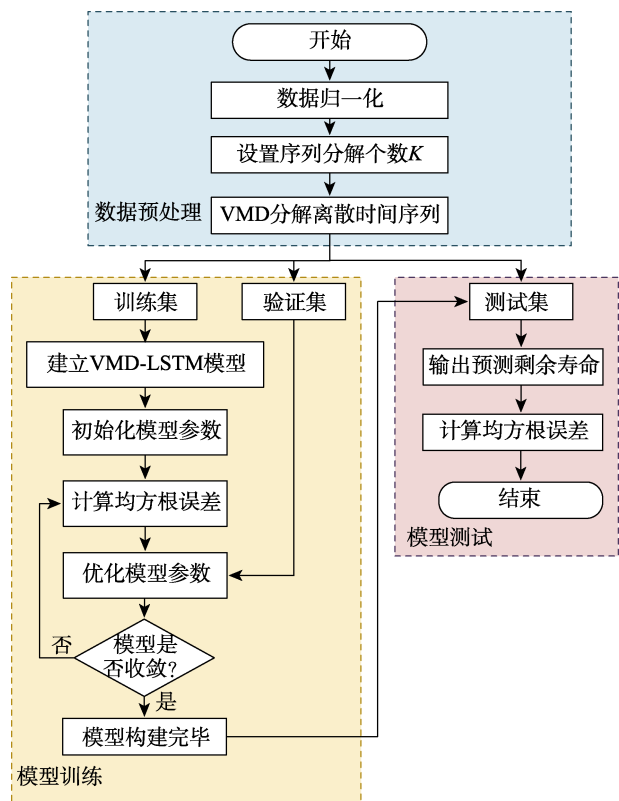


图3 基于 VMD-LSTM 的航空发动机剩余寿命预测流程
Fig.3 Prediction process of aero engine remaining life based on VMD-LSTM

步骤一: 数据归一化处理。对输入的航空发动机变工况时间序列数据进行归一化处理。通过将数据映射到 0~1 的尺度范围, 消除不同特征之间的量纲差异, 从而提高后续模型训练的稳定性和效率。归一化公式为:

$$x_{\text{norm}} = \frac{x - x_{\text{min}}}{x_{\text{max}} - x_{\text{min}}} \quad (13)$$

式中: x_{norm} 为归一化后的值; x 为原始数据值; x_{max} 和 x_{min} 为最大值和最小值。

步骤二: 设定 VMD 分解参数, 并执行分解。确定 VMD 分解所需的模态数 K , 并对每条航空发动机的时间序列数据进行 VMD 分解。该过程将每条原始时间序列数据分解为 K 个具有不同频率特性的独立模态成分, 每个模态成分都对应于特定的频段和振幅特性, 能够提取出更丰富的故障特征信息, 为后续分析提供高质量的输入数据。

步骤三: 划分数据集, 并设置剩余寿命标签。为每条数据及相应的剩余寿命标签按照 8 : 1 : 1 的比例划分数据集, 分别作为训练集、验证集和测试集,

确保模型在训练过程中有足够的数据进行学习, 在验证阶段能够调整超参数, 并在最终测试中评估模型的泛化能力。

步骤四: 构建与训练 VMD-LSTM 模型。构建 VMD-LSTM 剩余寿命预测模型, 并初始化其超参数。利用训练集对模型进行初步训练, 采用均方根误差 (Root Mean Square Error, RMSE) 作为损失函数来衡量预测值与真实值之间的偏差。通过验证集不断调整超参数, 优化模型性能。一旦模型收敛且验证集上的表现达到最优, 则保存模型权重, 并使用测试集进行最终测试。

步骤五: 模型评估与结果对比。导入测试集数据进行预测, 输出每条数据对应的预测剩余寿命。计算测试集上的 RMSE, 并将其与其他现有算法的结果进行比较。通过对不同算法的性能对比分析, 可以全面评估所提出方法的有效性和优越性。

3 变工况航空发动机 RUL 预测实验及分析

3.1 数据集介绍

采用的数据源来自 C-MAPSS (Commercial Modular Aero-Propulsion System Simulation), 由 NASA 开发, 并在 2008 年的首届预测与健康国际会议 (PHM08) 上公布。C-MAPSS 特别设计了用于模拟航空发动机在其生命周期中的运行状态变化, 研究人员能够更准确地评估和改进航空发动机的健康监测与故障预测技术, 从而推动了航空业的安全性和可靠性建设。C-MAPSS 涡扇发动机退化数据集地址为 <https://data.nasa.gov/Aeospace/CMAPSS-Jet-Engine-Simulated-Data/ff5v-kuh6>。

C-MAPSS 数据集共包含 707 个不同工况、不同故障模式下从正常到故障前的寿命监测数据, 当运行至故障时, 研究人员通过专业设备采集其真实寿命作为数据的标签, 由此构建变工况且混合故障模式的涡扇发动机 RUL 数据集, 具体信息见表 1。

表 1 C-MAPSS 数据集介绍
Tab.1 Description of C-MAPSS datasets

数据集	FD001	FD002	FD003	FD004
发动机数量	100	259	100	248
工况种类	1	6	1	6
故障类型	1	1	2	2

C-MAPSS 每一行数据均由 26 个字段组成, 第一个字段为涡扇发动机组编号, 第二个字段为发动机组当前的运行周期数, 剩余的 24 个字段涵盖了操作参数的不同设置和各种传感器测量的涡扇发动机运行指标, 具体见表 2。

表 2 C-MAPSS 数据集各参数介绍
Tab.2 Description of parameters of C-MAPSS dataset

特征序号	特征描述	符号
1	飞行高度	H
2	油门杆角度	T_{RA}
3	马赫数	Ma
4	风扇进气温度	T_2
5	低压压气机排气温度	T_{24}
6	高压压气机排气温度	T_{30}
7	低压涡轮排气温度	T_{50}
8	风扇入口气压	P_2
9	外涵道总压力	P_{15}
10	高压压气机出口总压	P_{30}
11	未修正的风扇转速	N_F
12	未修正的核心机转速	N_C
13	发动机压比	E_{PR}
14	高压压气机出口静压	P_{S30}
15	燃油流量和高压压气机出口总压比值	P_{HI}
16	风扇修正转速	N_{RF}
17	核心机修正转速	N_{RC}
18	涵道比	B_{PR}
19	燃烧室燃气比	F_{ARB}
20	引气焓值	H_{T_BLEED}
21	风扇转速命令值	N_{F_DMD}
22	风扇修正量转速命令值	P_{CNFR_DMD}
23	高压涡轮冷却空气流量	W_{31}
24	低压涡轮冷却空气流量	W_{32}

3.2 实验平台及环境配置

变工况航空发动机 RUL 预测实验的实现依赖于计算资源和环境配置。本文中 VMD-LSTM 的算法训练过程所使用的深度学习框架为 Tensorflow2.5.3, python 版本为 3.7, CUDA 版本为 11.2, CUDNN 版本为 7.4.0。运行平台硬件参数见表 3。

表 3 运行平台硬件参数
Tab.3 Hardware parameters of running platform

名称	配置型号
CPU	Intel (R) Core (TM) i7-7700HQ
显卡	GTX3090
内存	16GDDR4
操作系统	Windows10

表 4 给出了变工况航空发动机 RUL 预测的依赖库, 通过集成这些依赖库, 可以有效地进行数据处理和分析、模型评估与优化、可视化绘图等工作。

表 4 变工况航空发动机 RUL 预测实验的依赖库
Tab.4 Dependency library for RUL prediction experiment of variable operating condition aircraft engine

库名	版本
numpy	1.19.5
matplotlib	3.4.2
pandas	1.1.5
scikit-learn	0.24.1
scipy	1.6.0

3.3 寿命预测评价指标

为了评估并对比不同预测模型在 RUL 预测方面的性能, 本研究采用 RMSE 与平均绝对误差 (Mean Absolute Error, MAE) 作为评价标准^[25-26]。RMSE 和 MAE 这 2 种统计量的结合能够有效地量化预测模型输出值与实际观测值之间的偏差程度, 并且还能能为模型间的性能比较提供一个客观基础。

RMSE 通过计算预测值与真实值之间差异的平方和的均值的 1/2 次方来反映模型预测的准确性, 对较大误差给予了更高的权重。MAE 则是通过求取所有预测值与实际值之差的绝对值的平均数来评估模型的整体表现。相比于 RMSE, MAE 对异常值不那么敏感, 能提供关于模型误差分布的一个更稳健的评估。两者计算公式如下:

$$RMSE = \sqrt{\frac{1}{n} \sum_{i=1}^n (\hat{y}_i - y_i)^2} \quad (14)$$

$$MAE = \frac{1}{n} \sum_{i=1}^n |\hat{y}_i - y_i| \quad (15)$$

式中: \hat{y}_i 为剩余寿命预测值; y_i 为剩余寿命真实值。

3.4 参数设置和优化

在变工况条件下, VMD-LSTM 融合模型的预测精度与泛化性能高度依赖于超参数体系的智能优化。通过建立包含分解层数 K 、正则化因子 α 等 VMD 参数, 以及 LSTM 隐含层结构、学习率等网络参数的系统性优化框架, 结合多目标约束下的智能寻优算法, 实现超参数组态对动态工况的自适应调整。这种基于算法收敛性与计算效率平衡的超参数协同优化策略, 能够有效解析参数间的非线性耦合关系, 为提升模型在复杂运行环境中的退化特征解耦能力提供关键支撑。超参数的选择对模型性能和预测准确性具有显著影响。在本节中, 针对序列分解的数量、训练轮数、批处理大小、卷积层数量、LSTM 神经元数目进行超参数对比和选取。

不同 VMD 分解数下的航空发动机 RUL 预测对比如图 4 所示。可以看出, 随着分解数从 $K=1$ 增加到 $K=6$, RMSE 和 MAE 这个评估指标都呈现出下降的趋势, 并在 $K=6$ 时达到最小值。这表明在分解数

为6时,模型的预测准确性最高,误差最小。然而,当分解数继续增加超过 $K=6$ 时, RMSE 和 MAE 指标开始上升,说明过度的分解可能导致模型出现过拟合,从而降低了其在未知数据上的预测性能。因此,根据图4中的实验结果,可以得出结论,最优的分解数应选择为6,以获得最佳的RUL预测效果。

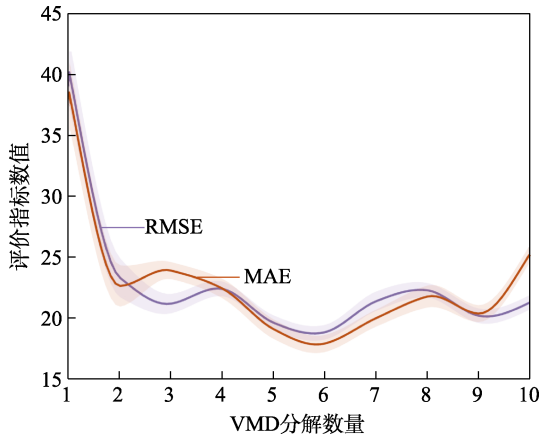


图4 不同VMD分解数的对比

Fig.4 Comparison of different VMD decomposition numbers

不同轮数下航空发动机的RUL预测对比如图5所示。可以看出,随着训练轮数Epoch的增加, RMSE 和 MAE 指标值都呈现出先下降、后上升的趋势。具体来说,训练轮数Epoch从110到130轮时, RMSE 和 MAE 的值较高,表明模型的预测误差较大。训练轮数Epoch为140轮时, RMSE 和 MAE 达到低点,说明此时模型的预测性能较好。当训练轮数Epoch大于140轮时, RMSE 和 MAE 又开始上升,这可能是因为过度的训练导致了过拟合现象,使得模型在未见过的数据上的泛化能力变差。因此,选择140轮作为最优训练轮数,此时模型的预测误差最小。

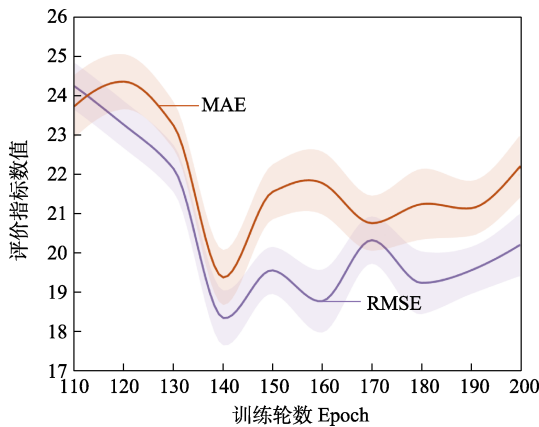


图5 不同轮数下的航空发动机RUL预测对比

Fig.5 Comparison of RUL prediction for aircraft engines under different epochs

不同批处理大小下航空发动机的RUL预测对比如图6所示。可以看出,随着批处理大小Batchsize

的增加, RMSE 和 MAE 指标值都呈现出先下降、后上升的趋势。批处理大小为10~32时, RMSE 和 MAE 的值较高,表明模型的预测误差较大。批处理大小为64时, RMSE 和 MAE 达到最低点,表明在这个批处理大小下,模型的预测性能最佳。批处理大小大于64时, RMSE 和 MAE 又开始上升,这可能是因为过大的批处理大小导致模型无法有效地更新参数,从而影响了模型的预测准确性。通过实验结果分析可得,选择批处理大小为64是最优的选择。

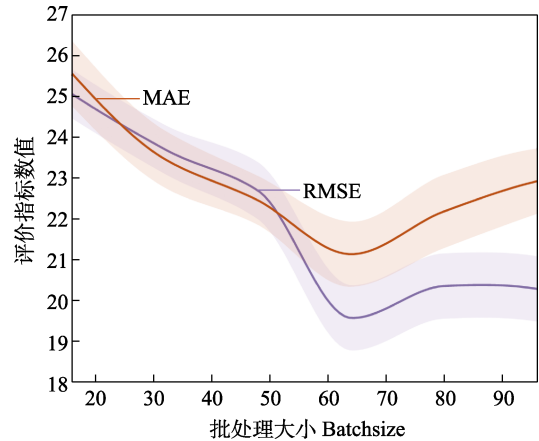


图6 不同批处理大小下的航空发动机RUL预测对比

Fig.6 Comparison of RUL prediction for aircraft engines under different batchsizes

不同卷积层数量下,航空发动机的RUL预测对比如图7所示。可以看出,卷积层数量为1时, RMSE 和 MAE 的值相对较高,表明模型的预测误差较大。卷积层数量为2时, RMSE 和 MAE 达到最低点,说明在这个卷积层数量下,模型的预测性能最佳。卷积层数量大于2时, RMSE 和 MAE 又开始上升,可能是过多的卷积层导致了过拟合现象,使得模型在未见过的数据上的泛化能力变差。综上所述,选择卷积层数量为2是最优的选择,因为此时模型的预测误差最小,且模型的性能表现最好。

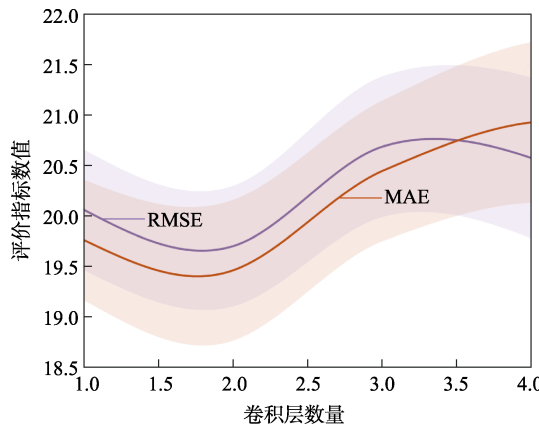


图7 不同卷积层数量下的航空发动机RUL预测对比

Fig.7 Comparison of RUL prediction for aircraft engines under different numbers of convolutional layers

在不同 LSTM 单元数量下, 航空发动机的 RUL 预测对比如图 8 所示。分析图 8 可得, 随着 LSTM 单元数目的递增, RMSE 和 MAE 呈现出先减少、后上升的变化趋势。当 LSTM 单元数量设定为 100 时, 所得到的 RMSE 和 MAE 数值相对偏高, 这表明在该配置下, 模型预测结果的准确性较低。增加至 110 个 LSTM 单元时, 可以看到 RMSE 和 MAE 值有所改善, 但仍未达到最佳状态。将 LSTM 单元增加到 120 个时, RMSE 和 MAE 达到了最低水平, 这说明在此条件下, 模型展现出了最优的预测能力。超过 120 个 LSTM 单元之后, 例如达到 130 个或更多, RMSE 和 MAE 再次上升。这可能是由于过多的 LSTM 单元引起了过拟合问题, 从而减弱了模型对新数据的适应性。根据实验结果, 选定 LSTM 单元数量为 120。

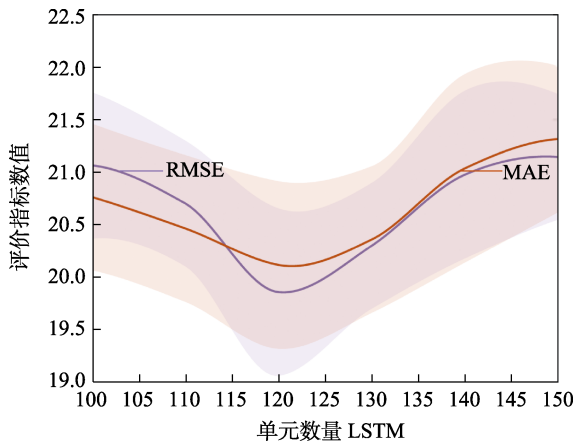


图 8 不同 LSTM 单元数量下的航空发动机 RUL 预测对比
Fig.8 Comparison of RUL prediction for aircraft engines with different numbers of LSTM units

经由超参数优化后, 基于 VMD-LSTM 的航空发动机剩余寿命预测模型具体数值见表 5。

3.5 RUL 预测实验

在完成 VMD-LSTM 网络的训练之后, 将其应用于涡扇发动机剩余使用寿命 (RUL) 的预测工作中。考虑到不同发动机之间的 RUL 彼此独立, 互不影响, 也不互相干预, 为了更加直观地评估该模型在预测涡扇发动机 RUL 方面的性能, 将每台涡扇发动机依据其真实的 RUL 值进行由低到高的排序处理, 并分别绘制了实际 RUL 值与模型预测出的 RUL 值的结果对比图和误差柱状图, 具体如图 9 和图 10 所示。

图 9 展示了不同涡扇发动机的真实剩余使用寿命 (RUL) 与模型预测的 RUL 之间的对比。从整体上看, 两者在大部分情况下表现出较好的一致性, 说明模型在预测 RUL 方面具有较高的准确性。在部分点中, 预测值与真实值之间存在明显的偏差。例如, 在发动机编号为 20 左右的位置, 预测值显著高于真实值; 而在发动机编号为 80 左右的位置, 预测值则

表 5 VMD-LSTM 模型参数
Tab.5 VMD-LSTM model parameters

参数名称	参数值
输入层尺寸	24
卷积层数	2
LSTM 层数	1
第一层卷积核尺寸	[21]
第一层卷积核数量	24
第一层卷积步长	[11]
第一层最大池化层尺寸	[21]
池化步长	[22]
第二层卷积核尺寸	[21]
第一层卷积核数量	24
第二层卷积步长	[11]
第二层最大池化层尺寸	[21]
池化步长	[22]
BiLSTM 隐藏单元数	120
Dropout 比例	0.2
分解数	6
训练轮数	140
批大小	64

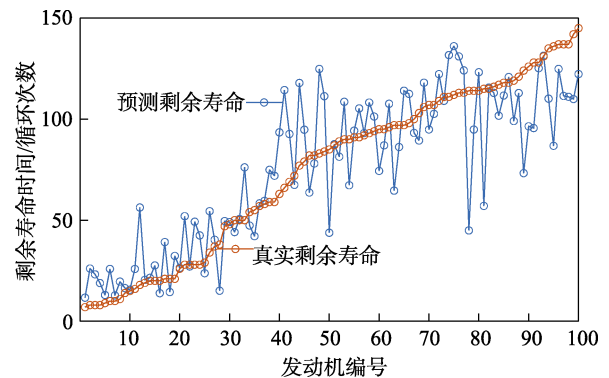


图 9 涡扇发动机 RUL 预测实验结果
Fig.9 Experimental results of RUL prediction for turbofan engine

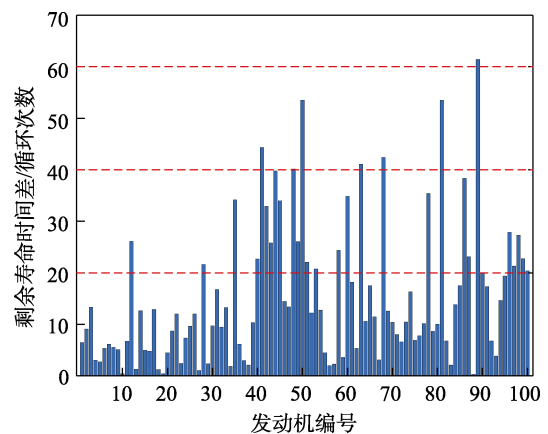


图 10 涡扇发动机 RUL 预测误差
Fig.10 RUL prediction error of turbofan engine

低于真实值。通过观察误差分布可以发现,模型的整体性能较好,且预测值在低 RUL 区域和高 RUL 区域的偏差相对较小,但是在中间区域的偏差较大,表明模型在低 RUL 区域和高 RUL 区域的预测性能较好,但在中间范围内的预测效果需要进一步提升。

图 10 展示了涡扇发动机 RUL 预测误差的分布情况。可以看出,绝大部分发动机的预测误差集中在 20 个循环周期内,少数发动机的误差处于 40~60 个循环周期,只有 1 例超过了 60 个循环周期。这表明该方法具有较高的准确性和可靠性,进一步证明了本文所提方法的优越性能和广泛的应用潜力。

3.6 对比实验

为了进一步评估 VMD-LSTM 模型在涡扇发动机 RUL 预测的性能表现,选取 CNN、DCNN、RNN、GRU 深度学习模型进行对比实验,对比模型均经过相同的训练集和测试集进行训练和验证,以确保实验的公平性和可比性。具体实验结果见表 6。

表 6 不同预测方法精度对比
Tab.6 Comparison of accuracy between different prediction methods

预测方法	RMSE	MAE
CNN	23.21±1.05	24.65±1.25
DCNN	22.86±0.83	22.71±1.53
RNN	22.37±1.20	22.05±1.29
GRU	21.06±1.53	22.74±0.98
VMD-LSTM	19.75±1.41	19.92±1.52

从表 4 可以看出,VMD-LSTM 模型在涡扇发动机 RUL 预测任务中表现出显著优于其他模型的性能。具体而言,VMD-LSTM 模型的 RMSE 为 19.75,MAE 为 19.92,明显优于其他模型。相比之下,CNN、DCNN、RNN 和 GRU 模型的 RMSE 和 MAE 值较高,表明这些模型在处理复杂时间序列数据时存在局限性。其中,CNN 和 DCNN 虽然能够提取局部特征,但在捕捉长期依赖关系方面表现不佳;RNN 和 GRU 虽然能够处理时间序列数据,但其对噪声和非线性变化的鲁棒性较差。VMD-LSTM 模型通过结合变分模态分解(VMD)与长短期记忆网络(LSTM),不仅有效提取了时频域特征,还增强了对长期依赖关系的捕捉能力,从而显著提升了预测精度。

4 结论

针对传统涡扇发动机 RUL 预测精度较低的问题,本文提出了一种基于 VMD-LSTM 的涡扇发动机剩余寿命预测模型,得出的结论如下:

1) VMD 能够自适应地将复杂的时域信号分解为多个具有固定带宽限制的独立模态成分,从而提取出

丰富的故障特征信息,为后续分析提供了高质量的数据支持。LSTM 则凭借其独特的门控机制,在处理时间序列中的长期依赖关系方面表现卓越,有效地避免了传统循环神经网络在长时间间隔数据处理上的局限性。

2) 本文提出的 VMD-LSTM 模型相较于 CNN、DCNN、RNN 和 GRU 在涡扇发动机 RUL 预测任务中表现出更低的 RMSE 和 MAE (分别为 19.75 和 19.92),取得了较高的预测精度,展现出 VMD-LSTM 模型在提取时频域特征及捕捉长期依赖关系方面的强大能力,还提升了对复杂动态变化的捕捉能力,实现了对航空发动机 RUL 的高精度预测。

参考文献:

- [1] 蔡舒好, 邝文涛. 基于改进 ADDA 的航空发动机基线预测模型[J/OL]. 航空动力学报, 2025: 1-17. (2025-03-05). <https://doi.org/10.13224/j.cnki.jasp.20240346>.
- [2] 王程阳, 王四季, 林大方, 等. 航空发动机转子系统振动主动控制优化与试验研究[J/OL]. 振动工程学报, 2025: 1-11. (2025-02-24). <https://kns.cnki.net/kcms/detail/32.1349.TB.20250223.1908.004.html>.
WANG C Y, WANG S J, LIN D F, et al. Optimization and Experimental Study on Active Vibration Control of Aero-Engine Rotor System[J/OL]. Journal of Vibration Engineering, 2025: 1-11. (2025-02-24). <https://kns.cnki.net/kcms/detail/32.1349.TB.20250223.1908.004.html>.
- [3] 张天宏, 方黎, 崔轶博. 多电航空发动机控制技术发展综述[J/OL]. 推进技术, 2025: 1-19. (2025-01-21). <https://kns.cnki.net/kcms/detail/11.1813.V.20250121.1526.002.html>.
ZHANG T H, FANG J, CUI Y B. Summary of Control Technology Development of Multi-Electric Aero-Engine [J/OL]. Journal of Propulsion Technology, 2025: 1-19. (2025-01-21). <https://kns.cnki.net/kcms/detail/11.1813.V.20250121.1526.002.html>.
- [4] 支亚雷. 航空发动机问题诊断技术综述[J]. 中国设备工程, 2024(8): 154-156.
ZHI Y L. Summary of Aero-Engine Problem Diagnosis Technology[J]. China Plant Engineering, 2024(8): 154-156.
- [5] 张鲁一航, 杨彦明, 陈永展, 等. 基于 VMD-CNN-BiLSTM 的变工况涡扇发动机剩余寿命预测[J/OL]. 北京航空航天大学学报, 2025: 1-15. (2025-03-05). <https://doi.org/10.13700/j.bh.1001-5965.2021.0051>.
ZHANG L Y H, YANG Y M, CHEN Y Z, et al. Prediction of the Remaining Service Life of Variable Operating Condition Turbofan Engines Based on VMD-CNN- BiLSTM[J/OL]. Journal of Beijing University of Aeronautics and Astronautics, 2025: 1-15. (2025-03-05). <https://doi.org/10.13700/j.bh.1001-5965.2021.0051>.
- [6] 李响, 徐宜销, 雷亚国, 等. 面向旋转机械装备的智能故障诊断通用基础模型研究[J/OL]. 西安交通大学学

- 报, 2025: 1-12. (2025-01-02). <https://kns.cnki.net/kcms/detail/61.1069.T.20250102.0812.003.html>.
- LI X, XU Y X, LEI Y G, et al. Research on General Basic Model of Intelligent Fault Diagnosis for Rotating Machinery and Equipment[J/OL]. *Journal of Xi'an Jiaotong University*, 2025: 1-12. (2025-01-02). <https://kns.cnki.net/kcms/detail/61.1069.T.20250102.0812.003.html>.
- [7] 张杰毅, 陈果, 谢阶栋, 等. 球轴承接触疲劳寿命预估的损伤力学-有限元法[J]. *航空动力学报*, 2019, 34(10): 2246-2255.
- ZHANG J Y, CHEN G, XIE J D, et al. Damage Mechanics-Finite Element Method for Contact Fatigue Life Prediction of Ball Bearings[J]. *Journal of Aerospace Power*, 2019, 34(10): 2246-2255.
- [8] 许丹阳, 尚洁, 蒋琛, 等. 基于自适应时空图卷积网络的航空发动机剩余寿命预测[J/OL]. *计算机集成制造系统*, 2025: 1-22. (2025-03-05). <https://doi.org/10.13196/j.cims.2024.0433>.
- XU D Y, SHANG J, JIANG C, et al. Prediction of the Remaining Life of Aero Engines Based on Adaptive Spatio-temporal Graph Convolutional Networks[J/OL]. *Computer Integrated Manufacturing System*, 2025: 1-22. (2025-03-05). <https://doi.org/10.13196/j.cims.2024.0433>.
- [9] 陈俊英, 席月芸, 李朝阳. 多尺度局部特征和 Transformer 全局学习融合的发动机剩余寿命预测[J]. *自动化学报*, 2024, 50(9): 1818-1830.
- CHEN J Y, XI Y Y, LI Z Y. Prediction of Aeroengine Remaining Life by Combining Multi-Scale Local Features and Transformer Global Learning[J]. *Acta Automatica Sinica*, 2024, 50(9): 1818-1830.
- [10] 王冬梅, 肖建利, 路敬祎, 等. 基于 VMD-HD-VMD 的信号去噪方法[J]. *吉林大学学报(信息科学版)*, 2025, 43(2): 238-244.
- WANG D M, XIAO J L, LU J W, et al. Pipeline Leakage Signal Denoising Using VMD-HD-VMD[J]. *Journal of Jilin University (Information Science Edition)*, 2025, 43(2): 238-244.
- [11] 周锋, 韦少帅, 乔钢. VMD-小波去噪与双线性 ResNet 结合坐标注意力机制的水声信号调制识别方法[J/OL]. *哈尔滨工程大学学报*, 2025: 1-9. (2025-03-06). <https://kns.cnki.net/kcms/detail/23.1390.u.20250305.1733.002.html>.
- ZHOU F, WEI S S, QIAO G. Modulation Recognition Method of Underwater Acoustic Signal Based on VMD-Wavelet Denoising and Bilinear ResNet and Coordinate Attention Mechanism[J/OL]. *Journal of Harbin Engineering University*, 2025: 1-9. (2025-03-06). <https://kns.cnki.net/kcms/detail/23.1390.u.20250305.1733.002.html>.
- [12] 李练兵, 代亮亮, 高国强, 等. 基于 VGAF 与混合时序网络的电缆故障诊断方法[J/OL]. *华中科技大学学报(自然科学版)*, 2025: 1-8. (2025-03-14). <https://doi.org/10.13245/j.hust.250268>.
- LI L B, DAI L L, GAO G Q, et al. Cable Fault Diagnosis Method Based on VGAF and Hybrid Temporal Network[J/OL]. *Journal of Huazhong University of Science and Technology (Natural Science)*, 2025: 1-8. (2025-03-14). <https://doi.org/10.13245/j.hust.250268>.
- [13] 李振兴, 柳灿, 翁汉琰, 等. 基于 WOA-VMD 和贝叶斯估计的保护测量回路误差评估 [J/OL]. *三峡大学学报(自然科学版)*, 2025: 1-9. (2025-03-14). <https://doi.org/10.13393/j.cnki.issn.1672-948X.2025.02.014>.
- LI Z X, LIU C, WENG H L, et al. Error Evaluation of Protection Measurement Loop Based on WOA-VMD and Bayesian Estimation [J/OL]. *Journal of China Three Gorges University (Natural Science)*, 2025: 1-9. (2025-03-14). <https://doi.org/10.13393/j.cnki.issn.1672-948X.2025.02.014>.
- [14] 王冬梅, 肖建利, 路敬祎, 等. 基于 VMD-HD-VMD 的信号去噪方法[J]. *吉林大学学报(信息科学版)*, 2025, 43(2): 238-244.
- WANG D M, XIAO J L, LU J W, et al. Pipeline Leakage Signal Denoising Using VMD-HD-VMD[J]. *Journal of Jilin University (Information Science Edition)*, 2025, 43(2): 238-244.
- [15] 冯建铭, 阿不都瓦依提·希望, 蔺红. 基于聚类 SABO-VMD 和组合神经网络的短期光伏发电功率预测[J]. *太阳能学报*, 2025, 46(2): 357-366.
- FENG J M, ABUDUWAYITI X, LIN H. short-Term Pv Power Forecasting Based on Clustering sabo-Vmd and Ensemble Neural Networks[J]. *Acta Energetica Sinica*, 2025, 46(2): 357-366.
- [16] 徐志祥, 玄永伟, 王洪洋, 等. 基于 VMD-CNN-BiTCN 滚动轴承故障诊断[J]. *微特电机*, 2025, 53(2): 68-73.
- XU Z X, XUAN Y W, WANG H Y, et al. Fault Diagnosis of Rolling Bearings Based on VMD-CNN-BiTCN[J]. *Small & Special Electrical Machines*, 2025, 53(2): 68-73.
- [17] 王玲芝, 李晨阳, 刘婧, 等. 基于 GRO-SSA-LSTM 的短期光伏发电功率预测[J]. *太阳能学报*, 2025, 46(2): 401-409.
- WANG L Z, LI C Y, LIU J, et al. Short Term Photovoltaic Power Prediction Based on gro-Ssa-LSTM[J]. *Acta Energetica Sinica*, 2025, 46(2): 401-409.
- [18] 彭日旭, 黄友钦, 饶瑞. 基于远区气象站和 BO-LSTM 模型的大跨桥梁温度预测[J/OL]. *长沙理工大学学报(自然科学版)*, 1-10[2025-03-14]. <https://doi.org/10.19951/j.cnki.1672-9331.20250107001>.
- PENG R X, HUANG Y Q, RAO R. Temperature Prediction of Long-span Bridges Based on Distant Meteorological Stations and the BO-LSTM Model[J/OL]. *Journal of Changsha University of Science and Technology (Natural Science)*, 1-10[2025-03-14]. <https://doi.org/10.19951/j.cnki.1672-9331.20250107001>.
- [19] 王艺璇, 张怀, 石耀霖, 等. 基于 LSTM 神经网络的南加州中期地震预测[J]. *中国科学院大学学报(中英文)*, 2025, 42(2): 199-208.
- WANG Y X, ZHANG H, SHI Y L, et al. Medium-Term Prediction of Earthquakes in Southern California Using LSTM Neural Network[J]. *Journal of University of Chi-*

- nese Academy of Sciences, 2025, 42(2): 199-208.
- [20] 朱岸锋, 赵前程, 周凌, 等. 基于 CNN-LSTM-Attention 的风电机组状态监测与健康评估[J]. 振动测试与诊断, 2025, 45(2): 256-263.
ZHU A F, ZHAO Q C, ZHOU L, et al. Condition Monitoring and Health Assessment of Wind Turbine Based on CNN-LSTM with Attention[J]. Journal of Vibration, Measurement & Diagnosis, 2025, 45(2): 256-263.
- [21] 史立宇, 孙杨帆, 谢溢翀, 等. 基于无阈值递归图和 CNN-LSTM 的人体活动识别算法[J]. 传感器与微系统, 2025, 44(3): 130-133.
SHI L Y, SUN Y F, XIE Y C, et al. Human Activity Recognition Algorithm Based on URP and CNN-LSTM[J]. Transducer and Microsystem Technologies, 2025, 44(3): 130-133.
- [22] 杨晨, 宋欣蔚, 岳云涛. 基于 WD-LSTM 的宽带电磁辐射时序建模预测方法[J]. 现代电子技术, 2025, 48(6): 9-15.
YANG C, SONG X W, YUE Y T. Method for Wideband Electromagnetic Radiation Time Series Modeling Prediction Based on WD-LSTM[J]. Modern Electronics Tech-
- nique, 2025, 48(6): 9-15.
- [23] 郭马超, 冯荣, 侯刚, 等. 基于 LSTM-KAN 的冷水机组故障诊断特征优化[J]. 机电信息, 2025(5): 10-16.
GUO M C, FENG R, HOU G, et al. Optimization of Fault Diagnosis Characteristics of Water Chillers Based on LSTM-KAN[J]. Mechanical and Electrical Information, 2025(5): 10-16.
- [24] 吴兴华, 包俊, 王洪亮, 等. 基于 DBN-SO-BiGRU 融合模型的航空发动机 RUL 预测[J/OL]. 控制工程, 2025: 1-10. (2025-03-14). <https://doi.org/10.14107/j.cnki.kzgc.20240328>.
WU X H, BAO J, WANG H L, et al. Aero-engine RUL Prediction Based on the DBN-SO-BiGRU Fusion Model [J/OL]. Control Engineering of China, 2025: 1-10. (2025-03-14). <https://doi.org/10.14107/j.cnki.kzgc.20240328>.
- [25] 李文骁, 李勇成, 李鹏, 等. 面向可迁移跨域自适应学习的航空发动机剩余寿命预测方法[J]. 现代计算机, 2024, 30(4): 1-8.
LI W X, LI Y C, LI P, et al. Transferable Cross-Domain Adaptive Learning for Aircraft Engine Remaining Useful Life Prediction[J]. Modern Computer, 2024, 30(4): 1-8.